

Лабораторная работа №4
Шум

Смирнов Никита

24 апреля 2021 г.

Оглавление

1	Теоретическая часть	5
1.1	Общие сведения	5
1.2	Свойства	5
1.2.1	Линейность	5
1.2.2	Смещение функции	6
1.2.3	Масштабирование функции	6
1.2.4	Перемножение функции	7
1.2.5	Свёртывание функции	7
1.2.6	Дифференцирование функции	7
1.2.7	Интегрирование функции	8
1.2.8	Обратимость	8
2	Упражнение 4.1	9
3	Упражнение 4.2	14
4	Упражнение 4.3	16
5	Упражнение 4.4	19
6	Упражнение 4.5	24
7	Выводы	28

Список иллюстраций

2.1	Спектр звука	10
2.2	Спектр мощности звука	11
2.3	Спектр двух звуков	12
2.4	Спектр мощности двух звуков	13
2.5	Спектрограмма звука	13
3.1	Сегменты звуков	15
4.1	Таблица данных	16
4.2	Визуализация данных	17
4.3	Спектр искусственного звука	17
5.1	Визуализация звука	20
5.2	Спектр мощности звука	21
5.3	Визуализация нового звука	22
5.4	Сравнение спектров	23
6.1	Визуализация звука	25
6.2	Спектр мощности звука	26
6.3	Спектр мощности звука	27

Листинги

2.1	Прослушивание скачанного шума	9
2.2	Выбор короткого отрезка	9
2.3	Спектр звука	9
2.4	Спектр мощности звука	10
2.5	Выбор другого сегмента звука	11
2.6	Спектр двух звуков	11
2.7	Спектр мощности двух звуков	12
2.8	Спектрограмма звука	13
3.1	Функция <code>bartlett_method</code>	14
3.2	Сегменты звуков	14
4.1	Таблица данных	16
4.2	Визуализация данных	16
4.3	Спектр искусственного звука	17
4.4	Наклон прямой	18
5.1	Созданный класс <code>UncorrelatedPoissonNoise</code>	19
5.2	Создание звука	19
5.3	Создание звука	19
5.4	Визуализация звука	20
5.5	Спектр мощности звука	20
5.6	Наклон прямой	21
5.7	Создание нового звука	21
5.8	Визуализация нового звука	21
5.9	Сравнение спектров	22
6.1	Создание функции	24
6.2	Генерация значений	24
6.3	Создание звука	25
6.4	Визуализация звука	25
6.5	Спектр мощности звука	25
6.6	Наклон прямой	26
6.7	Генерация более длинной выборки	26
6.8	Использование метода Барлетта	26

6.9	Спектр мощности звука	26
6.10	Наклон прямой	27

Глава 1

Теоретическая часть

1.1 Общие сведения

Преобразование Фурье функции f вещественной переменной является интегральным и задаётся следующими формулами:

$$\begin{aligned}\text{Прямое: } F(\nu) &= \int_{-\infty}^{\infty} f(t)e^{-2\pi i\nu t} dt \\ \text{Обратное: } f(t) &= \int_{-\infty}^{\infty} F(\nu)e^{2\pi i\nu t} d\nu\end{aligned}$$

1.2 Свойства

1.2.1 Линейность

По определению, для некоторого векторного пространства $(V, K, +, \cdot)$, $a, b \in V$, $\gamma \in K$:

$$f : V \rightarrow V \text{ - линейна} \iff \begin{cases} \gamma \cdot f(a) = f(\gamma \cdot a) \\ f(a) + f(b) = f(a + b) \end{cases}$$

Очевидно, что преобразование Фурье (ПФ) удовлетворяет этому условию (как функция на $(\mathbb{R} \rightarrow \mathbb{R}, \mathbb{C}, +, \cdot)$), а следовательно:

$$\begin{aligned}\text{Fourier} \left(\sum_i \alpha_i \phi_i(t) \right) &= \sum_i \alpha_i \cdot \text{Fourier}(\phi_i(t)) \\ &= \sum_i \alpha_i \Phi_i(\nu)\end{aligned}$$

1.2.2 Сдвиг функции

При сдвиге функции $\phi(t)$ на Δt результат ПФ умножается на $e^{2\pi i \nu \Delta t}$. Пусть $t' = t + \Delta t$, тогда:

$$\begin{aligned} \text{Fourier}(\phi(t + \Delta t)) &= \int_{-\infty}^{\infty} \phi(t + \Delta t) e^{-2\pi i \nu t} dt \\ &= \int_{-\infty}^{\infty} \phi(t') e^{-2\pi i \nu (t' - \Delta t)} dt' \end{aligned}$$

Так как $dt' = d(t + \Delta t) = dt$, то:

$$\begin{aligned} \int_{-\infty}^{\infty} \phi(t') e^{-2\pi i \nu (t' - \Delta t)} dt' &= e^{2\pi i \nu \Delta t} \cdot \int_{-\infty}^{\infty} \phi(t') e^{-2\pi i \nu t'} dt' \\ &= e^{2\pi i \nu \Delta t} \cdot F(\nu) \end{aligned}$$

1.2.3 Масштабирование функции

Пусть $t' = \alpha t$, тогда:

$$\begin{aligned} \text{Fourier}(\phi(\alpha t)) &= \int_{-\infty}^{\infty} \phi(\alpha t) e^{-2\pi i \nu t} dt \\ &= \int_{-\infty}^{\infty} \phi(t') e^{-2\pi i \nu \frac{t'}{\alpha}} dt' \end{aligned}$$

Так как $dt' = \alpha dt$, то для $\alpha > 0$:

$$\begin{aligned} \int_{-\infty}^{\infty} \phi(t') e^{-2\pi i \nu \frac{t'}{\alpha}} dt' &= \frac{1}{\alpha} \int_{-\infty}^{\infty} \phi(t') e^{-2\pi i \frac{\nu}{\alpha} t'} dt' \\ &= \frac{1}{\alpha} \Phi\left(\frac{\nu}{\alpha}\right) \end{aligned}$$

Для $\alpha < 0$ получится $dt' < 0$ при $dt > 0$. При этом нужно поменять пределы интегрирования местами, тогда получим результат с отрицательным знаком:

$$-\frac{1}{\alpha} \Phi\left(\frac{\nu}{\alpha}\right)$$

Таким образом, в одной форме это:

$$\frac{1}{|\alpha|} \Phi\left(\frac{\nu}{\alpha}\right)$$

Вывод: при сжатии функции по времени в α раз, её ПФ расширяется по частоте в α раз.

1.2.4 Перемножение функции

ПФ произведения двух функций - это свёртка их ПФ.

$$\begin{aligned} \text{Fourier}(\phi(t)\xi(t)) &= \int_{-\infty}^{\infty} \phi(t)\xi(t)e^{-2\pi i\nu t} dt \\ &= \int_{-\infty}^{\infty} \left(\int_{-\infty}^{\infty} \Phi(k)e^{2\pi ikt} dk \right) \xi(t)e^{-2\pi i\nu t} dt \\ &= \int_{-\infty}^{\infty} \Phi(k) \left(\int_{-\infty}^{\infty} \xi(t)e^{2\pi i(k-\nu)t} dt \right) dk \\ &= \int_{-\infty}^{\infty} \Phi(k) \left(\int_{-\infty}^{\infty} \xi(t)e^{-2\pi i(\nu-k)t} dt \right) dk \\ &= \int_{-\infty}^{\infty} \Phi(k)\Xi(\nu-k)dk \\ &= (\Phi * \Xi)(\nu) \end{aligned}$$

1.2.5 Свёртывание функции

ПФ свёртки двух функций есть произведение ПФ этих функций. Доказывается аналогично в силу «симметрии» прямого и обратного преобразований Фурье.

1.2.6 Дифференцирование функции

При дифференцировании $\phi(t)$ по t её ПФ умножается на $2\pi i\nu$.

$$\begin{aligned} \text{Fourier}\left(\frac{d\phi(t)}{dt}\right) &= \int_{-\infty}^{\infty} \frac{d\phi(t)}{dt} e^{-2\pi i\nu t} dt \\ &= \int_{-\infty}^{\infty} e^{-2\pi i\nu t} d\phi(t) \\ &= \phi(t)e^{-2\pi i\nu t} \Big|_{-\infty}^{\infty} - \int_{-\infty}^{\infty} \phi(t) d(e^{-2\pi i\nu t}) \\ &= \phi(t)e^{-2\pi i\nu t} \Big|_{-\infty}^{\infty} + 2\pi i\nu \int_{-\infty}^{\infty} \phi(t)e^{-2\pi i\nu t} dt \\ &= \phi(t)e^{-2\pi i\nu t} \Big|_{-\infty}^{\infty} + 2\pi i\nu \cdot \Phi(\nu) \end{aligned}$$

Прямое и обратное преобразование Фурье существует для функций с ограниченной энергией, то есть:

$$\int_{-\infty}^{\infty} |\phi(t)|^2 dt \neq \infty$$

И из этого следует, что первое слагаемое равно 0.

1.2.7 Интегрирование функции

При интегрировании ПФ делится на $2\pi i\nu$.

$$\begin{aligned} \text{Fourier} \left(\int_{-\infty}^t \phi(t') dt' \right) &= \int_{-\infty}^{\infty} \left(\int_{-\infty}^t \phi(t') dt' \right) e^{-2\pi i \nu t} dt \\ &= -\frac{1}{2\pi i \nu} \cdot \int_{-\infty}^{\infty} \left(\int_{-\infty}^t \phi(t') dt' \right) d(e^{-2\pi i \nu t}) \\ &= -\frac{1}{2\pi i \nu} \cdot \left[e^{-2\pi i \nu t} \int_{-\infty}^t \phi(t') dt' \Big|_{-\infty}^{\infty} - \int_{-\infty}^{\infty} e^{-2\pi i \nu t} d \left(\int_{-\infty}^t \phi(t') dt' \right) \right] \\ &= -\frac{1}{2\pi i \nu} \cdot \left[e^{-2\pi i \nu t} \int_{-\infty}^t \phi(t) dt \Big|_{-\infty}^{\infty} - \int_{-\infty}^{\infty} e^{-2\pi i \nu t} \phi(t) dt \right] \\ &= -\frac{1}{2\pi i \nu} \cdot \left[0 - \int_{-\infty}^{\infty} e^{-2\pi i \nu t} \phi(t) dt \right] \\ &= \frac{1}{2\pi i \nu} \cdot \int_{-\infty}^{\infty} e^{-2\pi i \nu t} \phi(t) dt \\ &= \frac{1}{2\pi i \nu} \cdot \Phi(\nu) \end{aligned}$$

0 возникает потому, что $\int_{-\infty}^{\infty} \phi(t') dt' = 0$.

1.2.8 Обратимость

Преобразования обратимы, причём обратное преобразование имеет практически такую же форму, как и прямое преобразование.

Глава 2

Упражнение 4.1

В этом упражнении необходимо скачать звук источников шума. Определить похож ли спектр мощности скаченного звука на белый розовый или броуновский шум.

Я нашел звук обстановки в ресторане.

```
1 import thinkdsp
2
3 wave = thinkdsp.read_wave('matias.wav')
4 wave.make_audio()
```

Листинг 2.1: Прослушивание скачанного шума

Выбрал отрезок:

```
1 segment = wave.segment(start=5, duration=1.0)
2 segment.make_audio()
```

Листинг 2.2: Выбор короткого отрезка

Посмотрим на спектр.

```
1 spectrum = segment.make_spectrum()
2 spectrum.plot_power()
3 decorate(xlabel='Frequency (Hz)')
```

Листинг 2.3: Спектр звука

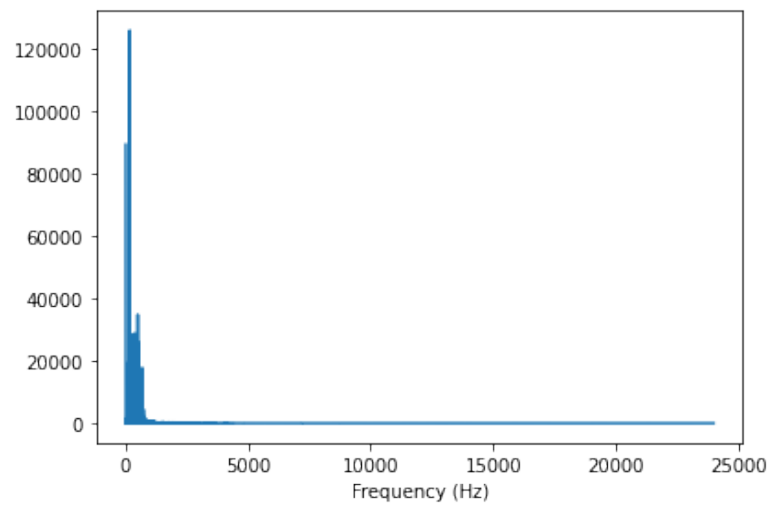


Рис. 2.1: Спектр звука

Амплитуда падает с частотой, поэтому это может быть красный или розовый шум. Мы можем проверить это, посмотрев на спектр мощности в логарифмической шкале.

```
1 spectrum.plot_power()  
2 decorate(xlabel='Frequency (Hz)',  
3          xscale='log',  
4          yscale='log')
```

Листинг 2.4: Спектр мощности звука

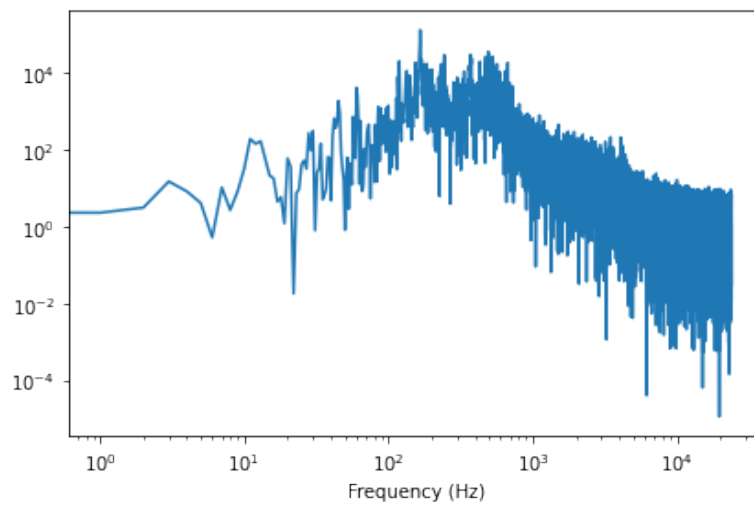


Рис. 2.2: Спектр мощности звука

Эта структура с увеличением, а затем и с уменьшением амплитуды кажется обычным явлением для естественных источников шума. Чтобы увидеть, как спектр меняется с течением времени, я выберу другой сегмент.

```
1 segment2 = wave.segment(start=2.5, duration=1.0)
2 segment2.make_audio()
```

Листинг 2.5: Выбор другого сегмента звука

Теперь рассмотрим два спектра:

```
1 spectrum2 = segment2.make_spectrum()
2 spectrum.plot_power()
3 spectrum2.plot_power(color='#beaed4')
4 decorate(xlabel='Frequency (Hz)',
5          ylabel='Amplitude')
```

Листинг 2.6: Спектр двух звуков

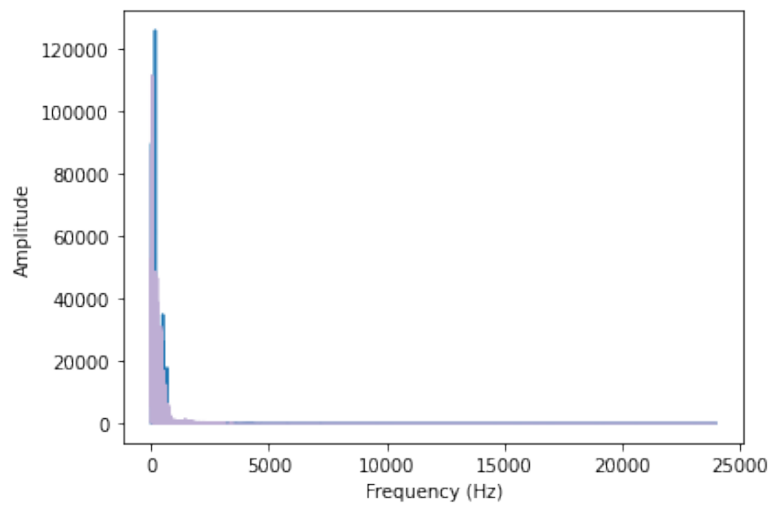


Рис. 2.3: Спектр двух звуков

Теперь рассмотрим график мощности в логарифмическом масштабе.

```

1 spectrum.plot_power()
2 spectrum2.plot_power(color='#beaed4')
3 decorate(xlabel='Frequency (Hz)',
4           ylabel='Amplitude',
5           xscale='log',
6           yscale='log')
```

Листинг 2.7: Спектр мощности двух звуков

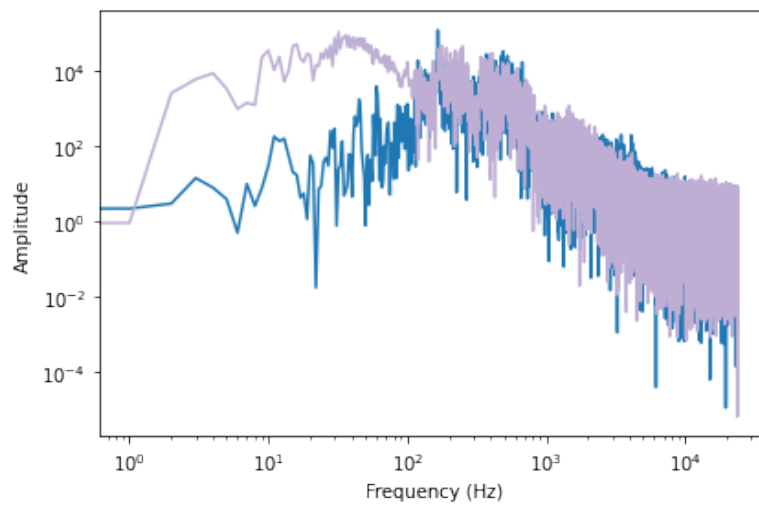


Рис. 2.4: Спектр мощности двух звуков

Таким образом, структура кажется неизменной с течением времени. Мы также можем посмотреть на спектрограмму:

```
1 segment.make_spectrogram(512).plot(high=5000)
```

Листинг 2.8: Спектрограмма звука

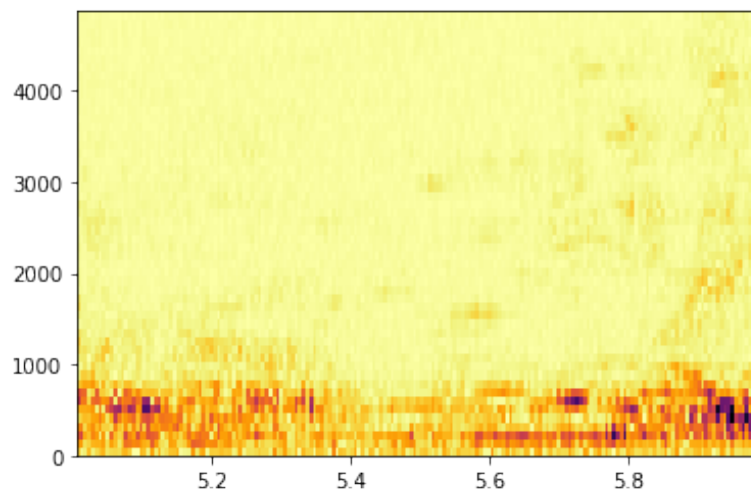


Рис. 2.5: Спектрограмма звука

В этом сегменте общая амплитуда падает, но смесь частот кажется стабильной.

Глава 3

Упражнение 4.2

`bartlett_method` создает спектрограмму и извлекает `spec_map`, который отображает время на объекты `Spectrum`. Он вычисляет PSD для каждого спектра, складывает их и помещает результаты в объект `Spectrum`.

```
1 def bartlett_method(wave, length=512, flag=True):
2     spectro = wave.make_spectrogram(length, flag)
3     spectrums = spectro.spec_map.values()
4     psds = [spectrum.power for spectrum in spectrums]
5     hs = np.sqrt(sum(psds) / len(psds))
6     fs = next(iter(spectrums)).fs
7     spectrum = thinkdsp.Spectrum(hs, fs, wave.framerate)
8     return spectrum
```

Листинг 3.1: Функция `bartlett_method`

Построим сегменты:

```
1 psd = bartlett_method(segment)
2 psd2 = bartlett_method(segment2)
3
4 psd.plot_power()
5 psd2.plot_power(color='#beaed4')
6
7 decorate(xlabel='Frequency (Hz)',
8          ylabel='Power',
9          xscale='log',
10         yscale='log')
```

Листинг 3.2: Сегменты звуков

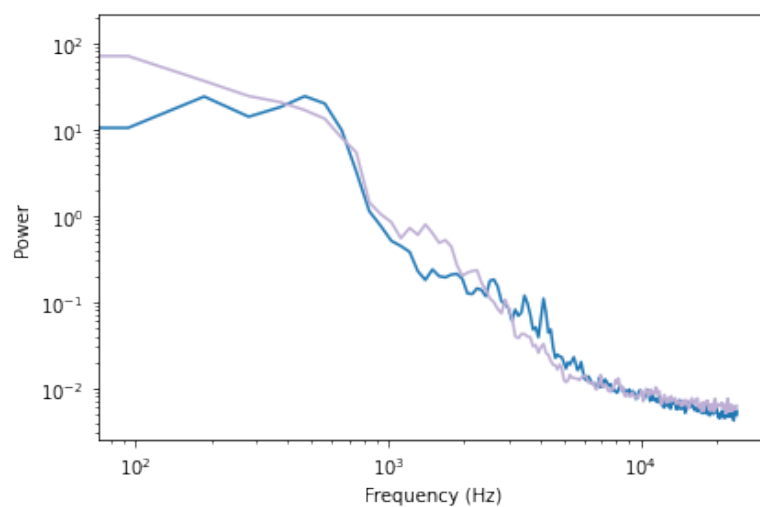


Рис. 3.1: Сегменты звуков

Теперь мы можем более чётко увидеть взаимосвязь между мощностью и частотой. Это не простая линейная зависимость, но она одинакова для разных сегментов, таких как около 1000 Гц, 6000 Гц и выше 10000 Гц.

Глава 4

Упражнение 4.3

На предложенной веб-странице я скачал данные о ежедневной цене BitCoin в течение года.

```
1 data = pd.read_csv('BTC_USD_2020-04-08_2021-04-07-CoinDesk.csv')
2 data
```

Листинг 4.1: Таблица данных

	Currency	Date	Closing Price (USD)	24h Open (USD)	24h High (USD)	24h Low (USD)
0	BTC	2020-04-26	7542.303401	7497.859881	7702.018980	7445.685898
1	BTC	2020-04-27	7624.853786	7542.303101	7707.594271	7503.770143
2	BTC	2020-04-28	7776.507543	7624.854338	7798.276656	7621.487082
3	BTC	2020-04-29	7761.758784	7788.574229	7793.636018	7677.178774
4	BTC	2020-04-30	8773.106488	7761.758619	8973.079277	7725.542654
...
360	BTC	2021-04-21	56608.769748	55723.227263	57121.943902	53442.851660
361	BTC	2021-04-22	54144.427476	56508.151244	56809.146393	53913.850515
362	BTC	2021-04-23	51965.059559	53830.823864	55471.076372	50500.731862
363	BTC	2021-04-24	50669.144382	51714.073970	52111.185068	47467.912032
364	BTC	2021-04-25	50733.769504	51217.172330	51253.442948	48932.158814

365 rows x 6 columns

Рис. 4.1: Таблица данных

Визуализируем скачанные данные.

```
1 wave = thinkdsp.Wave(data['Closing Price (USD)'], data.index,
    framerate=1)
2 wave.plot()
3 decorate(xlabel='Time (days)')
```

Листинг 4.2: Визуализация данных

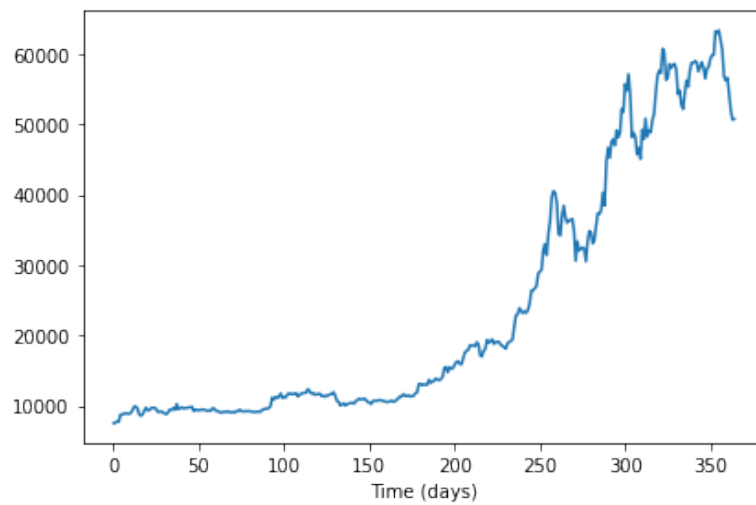


Рис. 4.2: Визуализация данных

Построим спектр искусственно созданного звука, где частотой будет выступать $1/\text{дни}$.

```

1 spectrum = wave.make_spectrum()
2 spectrum.plot_power()
3 decorate(xlabel='Frequency (1/days)',
4          xscale='log', yscale='log')

```

Листинг 4.3: Спектр искусственного звука

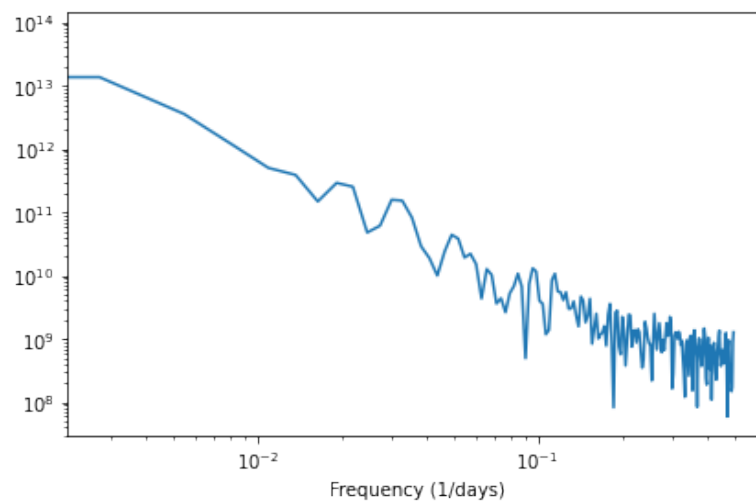


Рис. 4.3: Спектр искусственного звука

Спектр сход с прямой линией, поэтому можно предположить, что это "красный" или "розовый" шум. Проверим это, узнав наклон прямой.

```
1 spectrum.estimate_slope()[0]
```

Листинг 4.4: Наклон прямой

Наклон составляет -1.8582636508741062 , что похоже на красный шум (который должен иметь наклон -2).

Глава 5

Упражнение 4.4

Созданный класс `UncorrelatedPoissonNoise` представляет некоррелированный пуассоновский шум. Оценивает сигнал в заданное время.

```
1 class UncorrelatedPoissonNoise(thinkdsp.Noise):
2     def evaluate(self, ts):
3         ys = np.random.poisson(self.amp, len(ts))
4         return ys
```

Листинг 5.1: Созданный класс `UncorrelatedPoissonNoise`

Рассмотрим как это звучит при низких уровнях «радиации».

```
1 amp = 0.001
2 framerate = 10000
3 duration = 1
4
5 signal = UncorrelatedPoissonNoise(amp=amp)
6 wave = signal.make_wave(duration=duration, framerate=framerate)
7 wave.make_audio()
```

Листинг 5.2: Создание звука

Звук действительно похож на звуки от счётчика Гейгера, будто бы находишься где-то в Припяти. Чтобы убедиться, что все работает, мы сравниваем ожидаемое количество частиц и фактическое количество:

```
1 expected = amp * framerate * duration
2 actual = sum(wave.ys)
3 print(expected, actual)
```

Листинг 5.3: Создание звука

Количество частиц в обоих случаях равняется 10. Теперь рассмотрим

полученный звук:

```
1 wave.plot()
```

Листинг 5.4: Визуализация звука

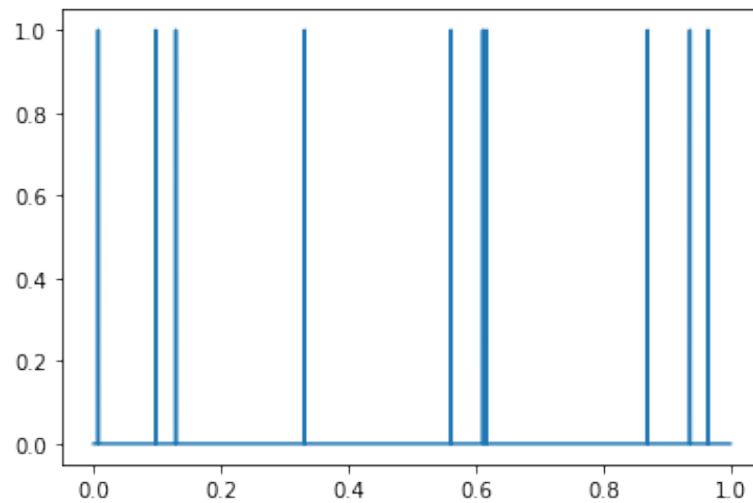


Рис. 5.1: Визуализация звука

Рассмотрим спектр мощности в логарифмическом масштабе:

```
1 spectrum = wave.make_spectrum()  
2 spectrum.plot_power()  
3 decorate(xlabel='Frequency (Hz)',  
4          ylabel='Power',  
5          xscale='log',  
6          yscale='log')
```

Листинг 5.5: Спектр мощности звука

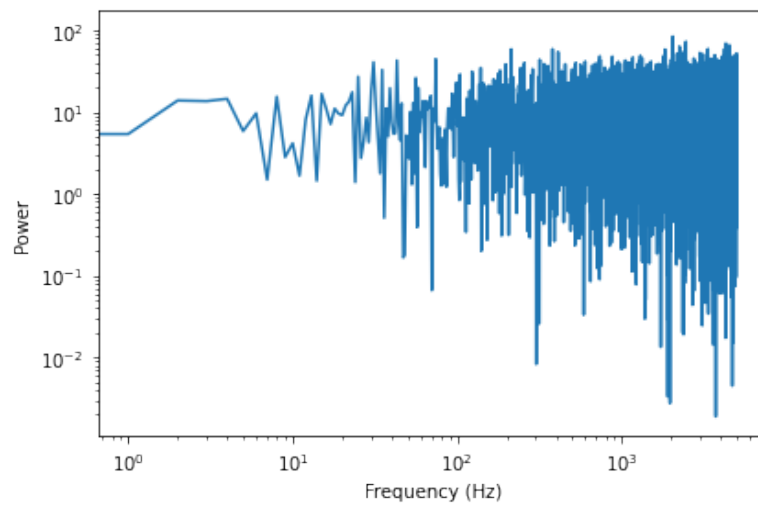


Рис. 5.2: Спектр мощности звука

Рассмотрим наклон:

```
1 spectrum.estimate_slope().slope
```

Листинг 5.6: Наклон прямой

Похоже на белый шум, а крутизна близка к 0 (-0.004513262607615736).

При более высокой скорости поступления это больше похоже на белый шум:

```
1 amp = 1
2 framerate = 10000
3 duration = 1
4
5 signal = UncorrelatedPoissonNoise(amp=amp)
6 wave = signal.make_wave(duration=duration, framerate=framerate)
7 wave.make_audio()
```

Листинг 5.7: Создание нового звука

Построим его график.

```
1 wave.plot()
```

Листинг 5.8: Визуализация нового звука

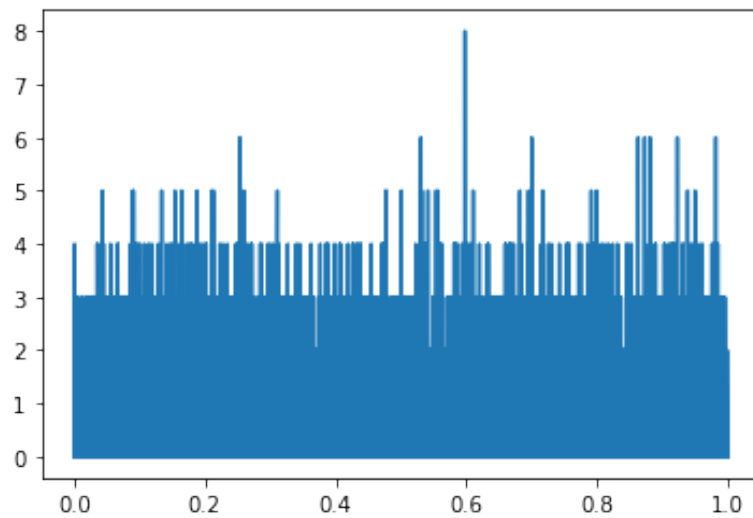


Рис. 5.3: Визуализация нового звука

И спектр сходится на гауссовском шуме.

```

1 spectrum = wave.make_spectrum()
2 spectrum.hs[0] = 0
3
4 thinkplot.preplot(2, cols=2)
5 thinkstats2.NormalProbabilityPlot(spectrum.real, label='real')
6 thinkplot.config(xlabel='Normal sample',
7                  ylabel='Power',
8                  legend=True,
9                  loc='lower right')
10
11 thinkplot.subplot(2)
12 thinkstats2.NormalProbabilityPlot(spectrum.imag, label='imag')
13 thinkplot.config(xlabel='Normal sample',
14                  loc='lower right')

```

Листинг 5.9: Сравнение спектров

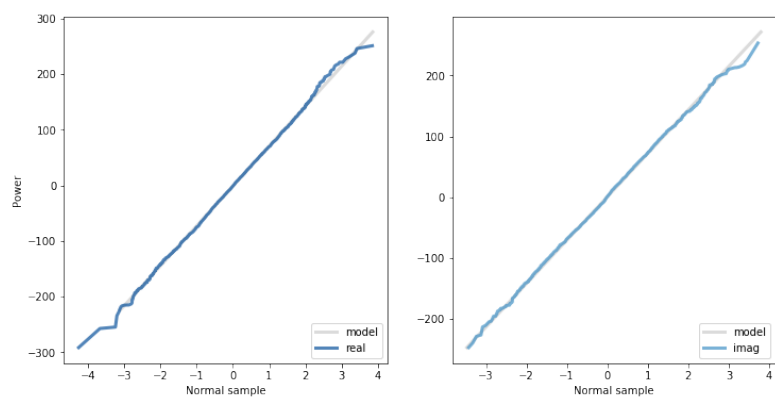


Рис. 5.4: Сравнение спектров

Глава 6

Упражнение 4.5

Вот весь процесс в функции: Создает розовый шум с помощью алгоритма Восс-Маккартни.

```
1 def voss(nrows, ncols=16):
2     array = np.empty((nrows, ncols))
3     array.fill(np.nan)
4     array[0, :] = np.random.random(ncols)
5     array[:, 0] = np.random.random(nrows)
6
7     # the total number of changes is nrows
8     n = nrows
9     cols = np.random.geometric(0.5, n)
10    cols[cols >= ncols] = 0
11    rows = np.random.randint(nrows, size=n)
12    array[rows, cols] = np.random.random(n)
13
14    df = pd.DataFrame(array)
15    df.fillna(method='ffill', axis=0, inplace=True)
16    total = df.sum(axis=1)
17
18    return total.values
```

Листинг 6.1: Создание функции

Чтобы проверить это, я сгенерирую 12005 значений:

```
1 ys = voss(12005)
2 ys
```

Листинг 6.2: Генерация значений

Теперь создадим из них звук:

```

1 wave = thinkdsp.Wave(ys)
2 wave.unbias()
3 wave.normalize()

```

Листинг 6.3: Создание звука

Теперь посмотрим на его визуализацию.

```

1 wave.plot()

```

Листинг 6.4: Визуализация звука

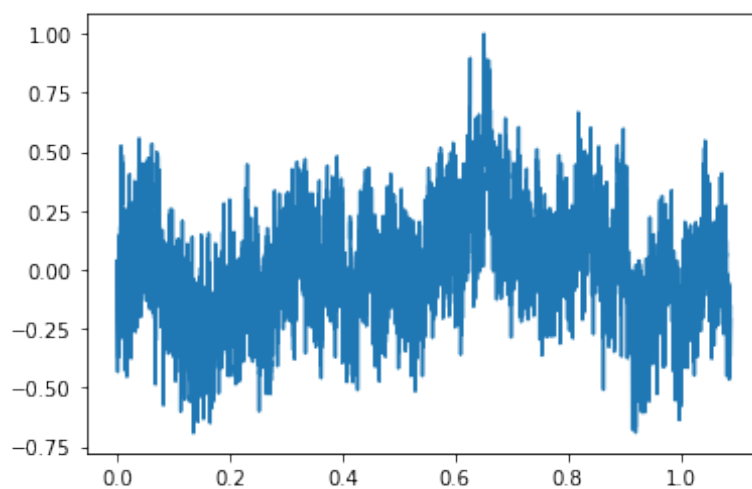


Рис. 6.1: Визуализация звука

Как и ожидалось, это больше похоже на случайное блуждание, чем на белый шум, но более случайное, чем на красный шум. Теперь рассмотрим спектр мощности:

```

1 spectrum = wave.make_spectrum()
2 spectrum.hs[0] = 0
3 spectrum.plot_power()
4 decorate(xlabel='Frequency (Hz)',
5          xscale='log',
6          yscale='log')

```

Листинг 6.5: Спектр мощности звука

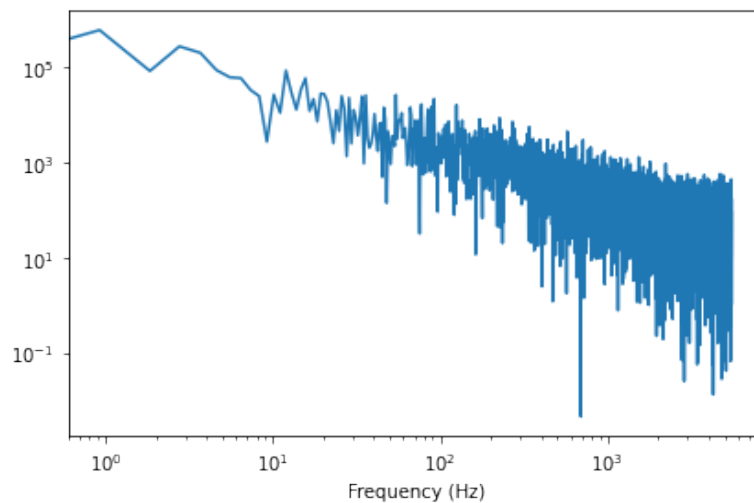


Рис. 6.2: Спектр мощности звука

Посмотрим на наклон:

```
1 spectrum.estimate_slope().slope
```

Листинг 6.6: Наклон прямой

Расчетный наклон близок к -1 (-1.0129573459835064).

Мы можем лучше понять средний спектр мощности, сгенерировав более длинную выборку:

```
1 seg_length = 40 * 124
2 iters = 100
3 wave = thinkdsp.Wave(voss(seg_length * iters))
4 len(wave)
```

Листинг 6.7: Генерация более длинной выборки

И используя метод Барлетта для вычисления среднего.

```
1 spectrum = bartlett_method(wave, length=seg_length, flag=False)
2 spectrum.hs[0] = 0
3 len(spectrum)
```

Листинг 6.8: Использование метода Барлетта

Это довольно близко к прямой линии с некоторой кривизной на самых высоких частотах, если рассматривать спектр мощности звука.

```
1 spectrum.plot_power()
2 decorate(xlabel='Frequency (Hz)',
```

```
3         xscale='log',  
4         yscale='log')
```

Листинг 6.9: Спектр мощности звука

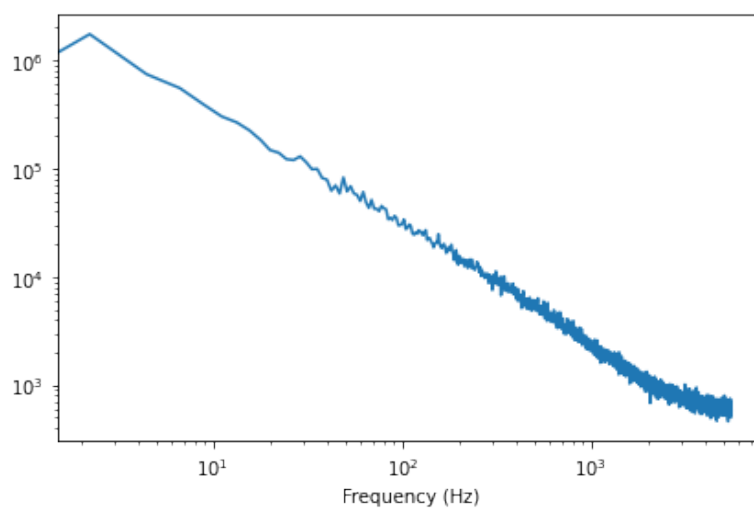


Рис. 6.3: Спектр мощности звука

Посмотрим на наклон:

```
1 spectrum.estimate_slope().slope
```

Листинг 6.10: Наклон прямой

Наклон теперь более близок к -1 (-1.0048368551745679).

Глава 7

Выводы

Во время выполнения лабораторной работы получены навыки работы с различными видами шумов. Также получены навыки создания этих шумов через различные данные.